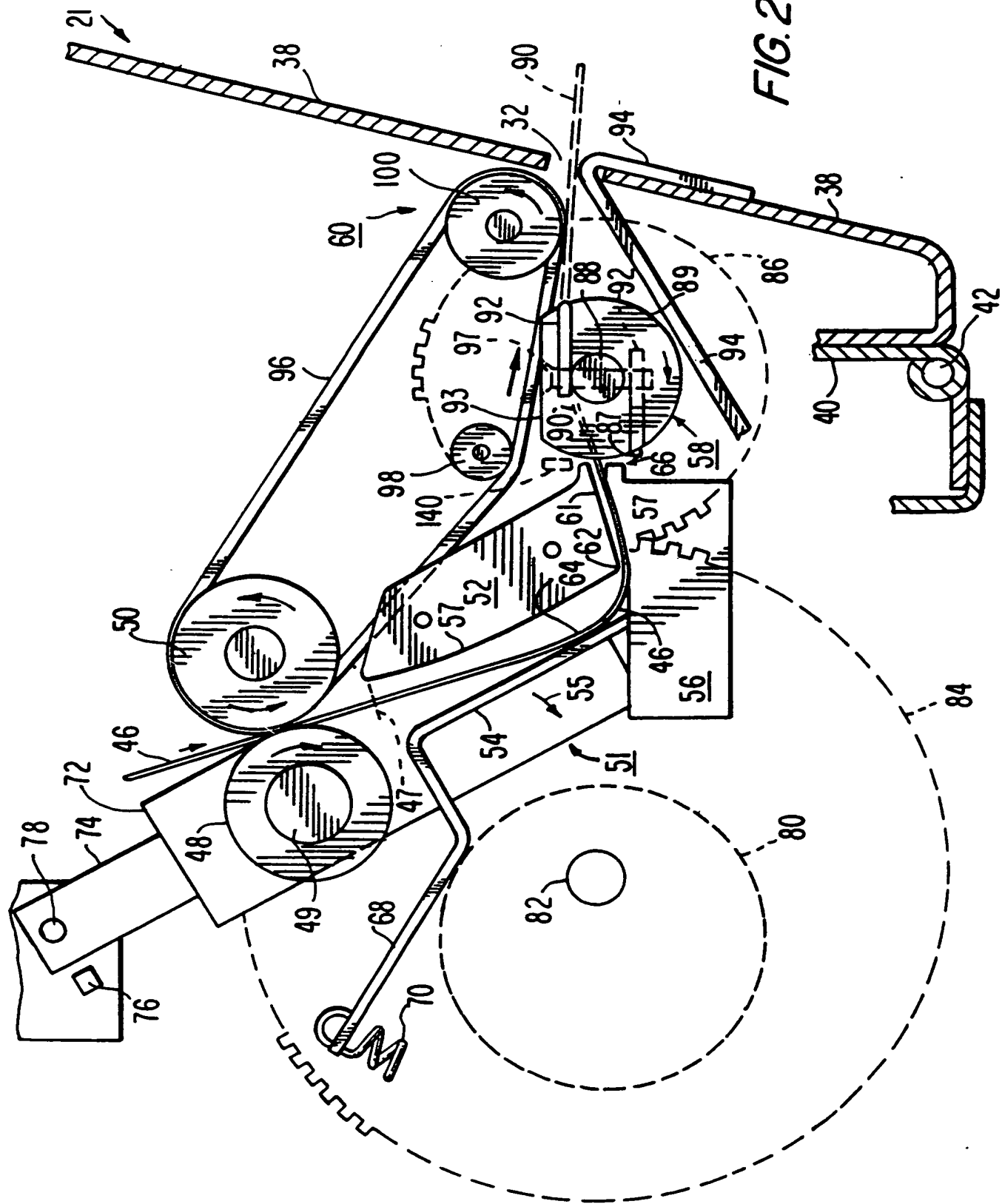


FIG. 1



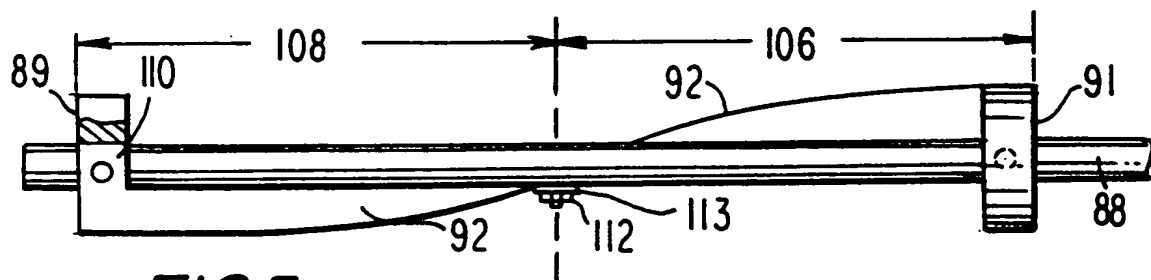


FIG. 5

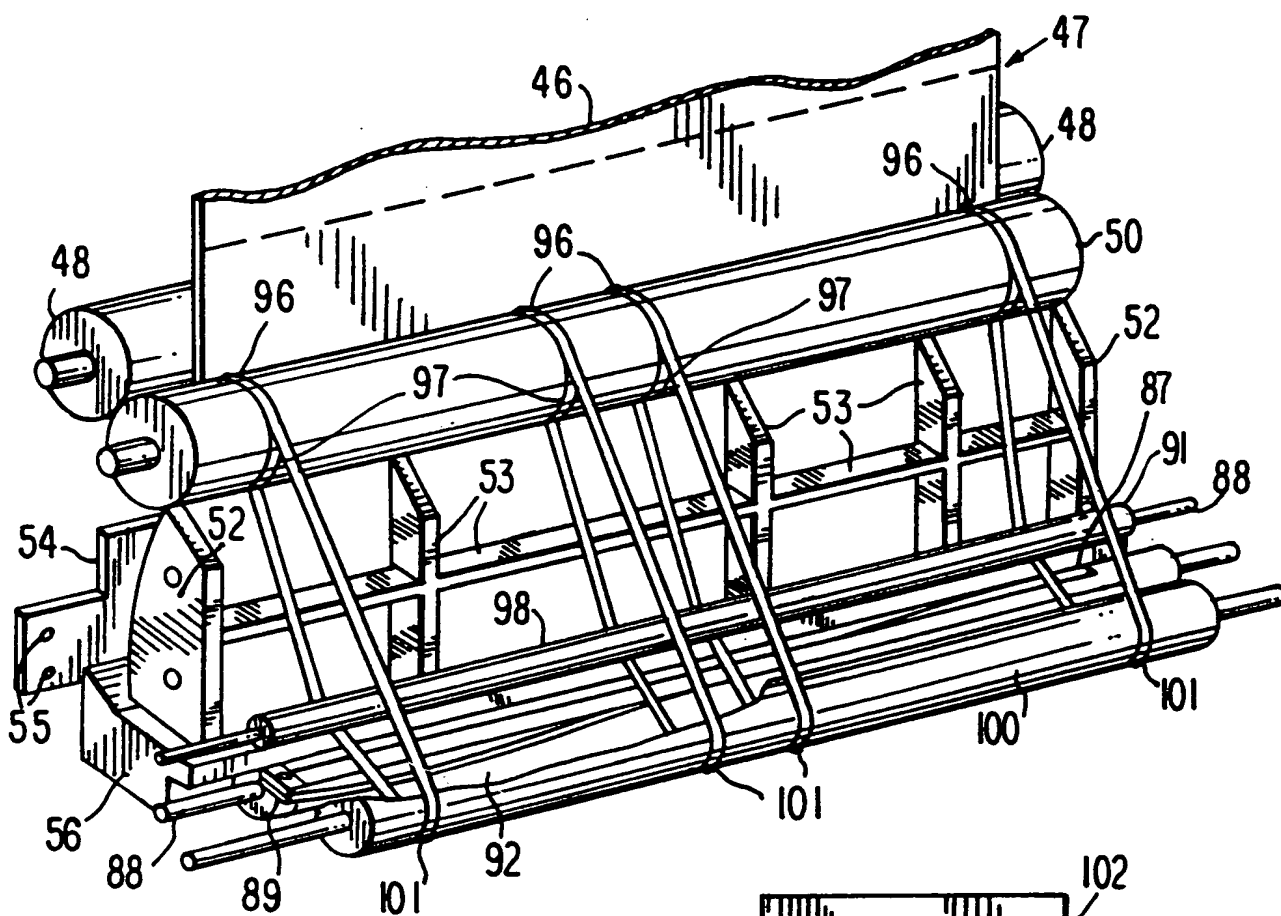


FIG. 3

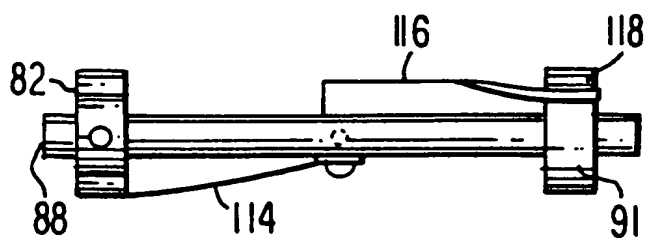


FIG. 6

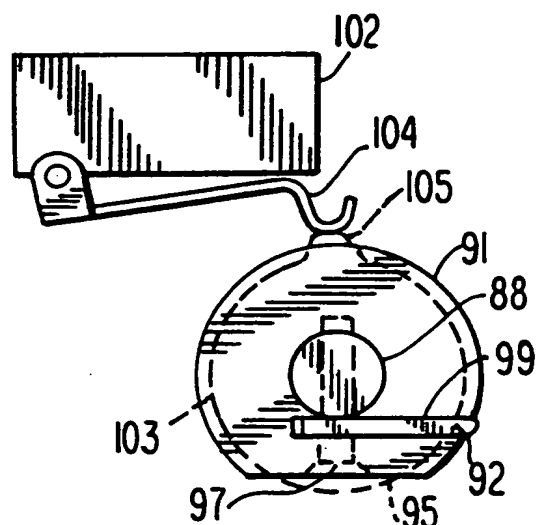


FIG. 4

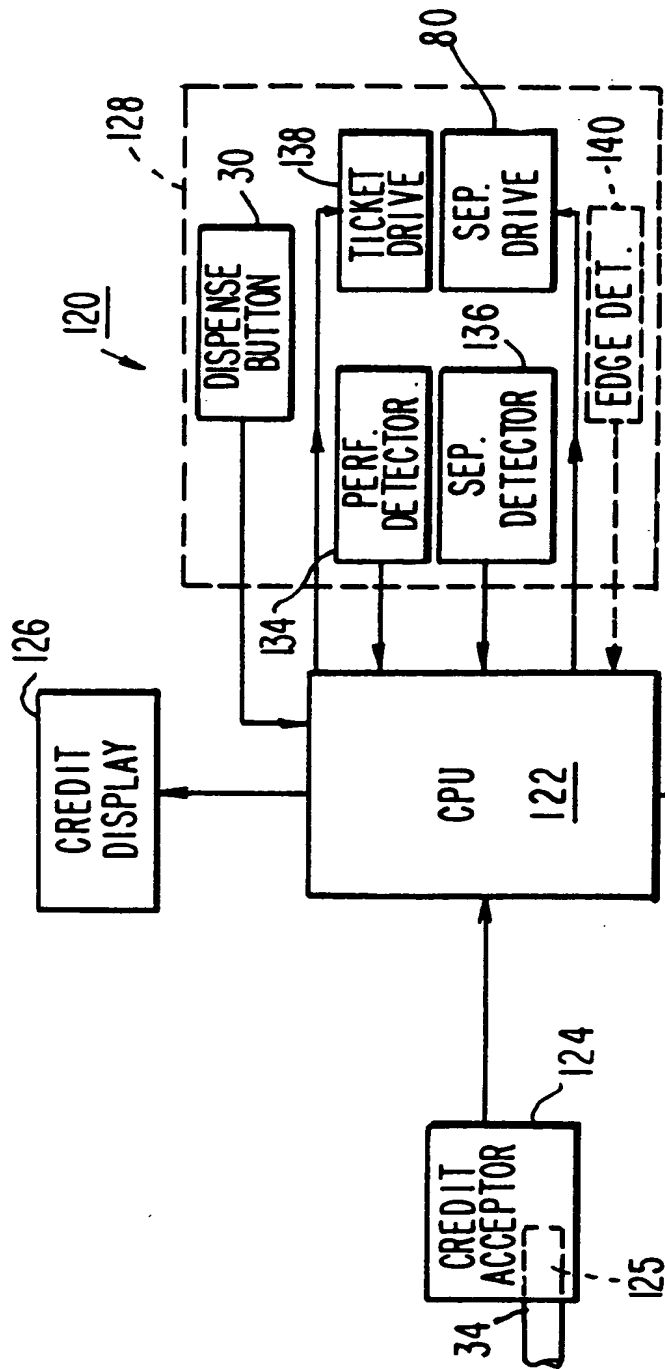
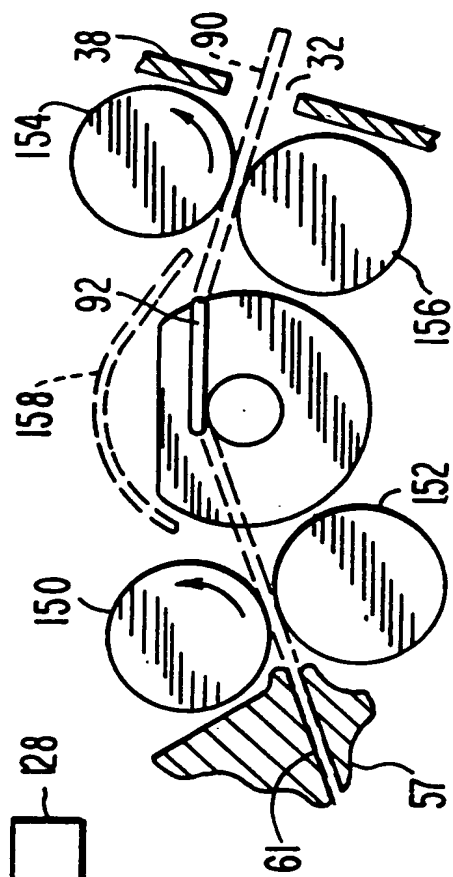
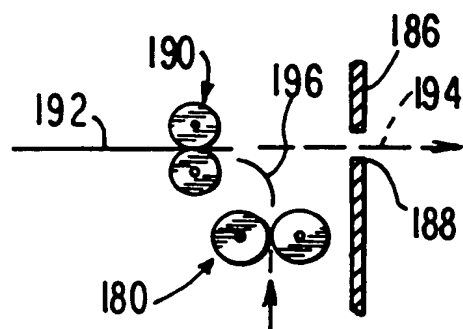
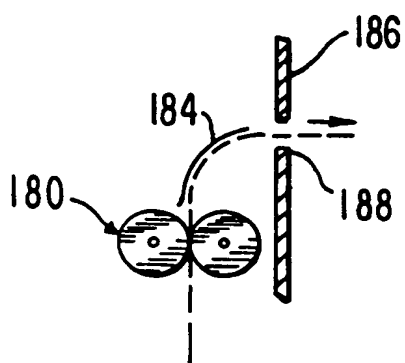
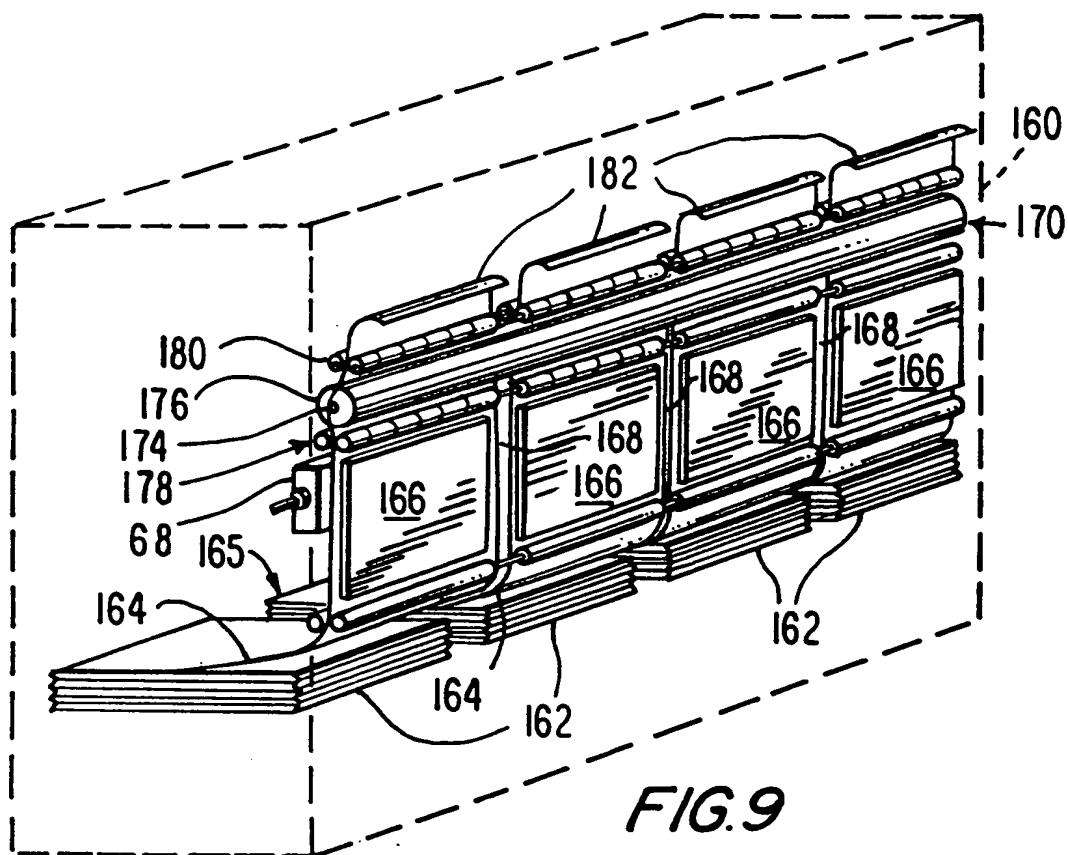
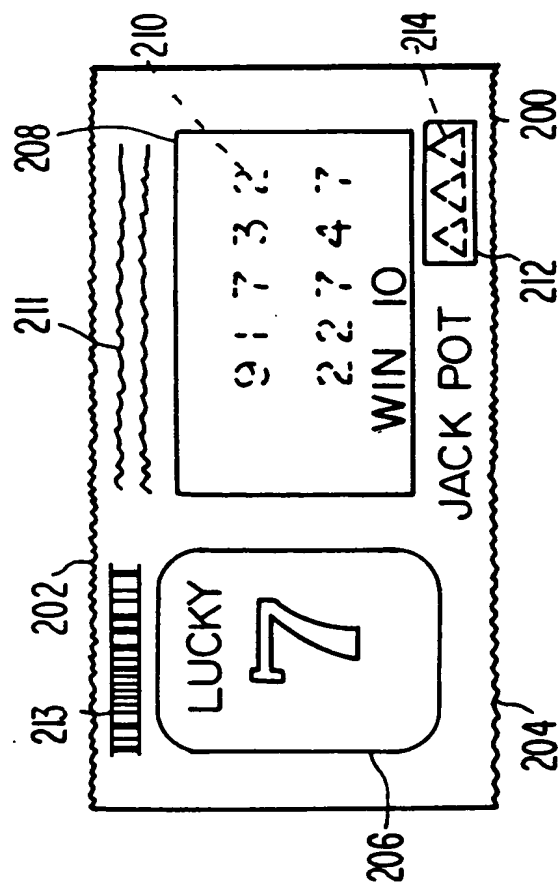


FIG. 8

FIG. 8







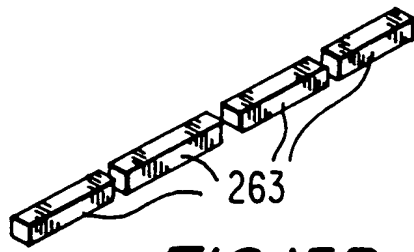


FIG. 15B

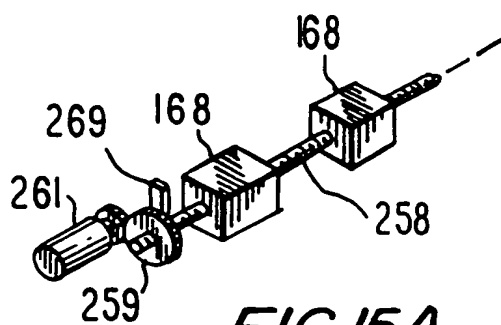


FIG. 15A

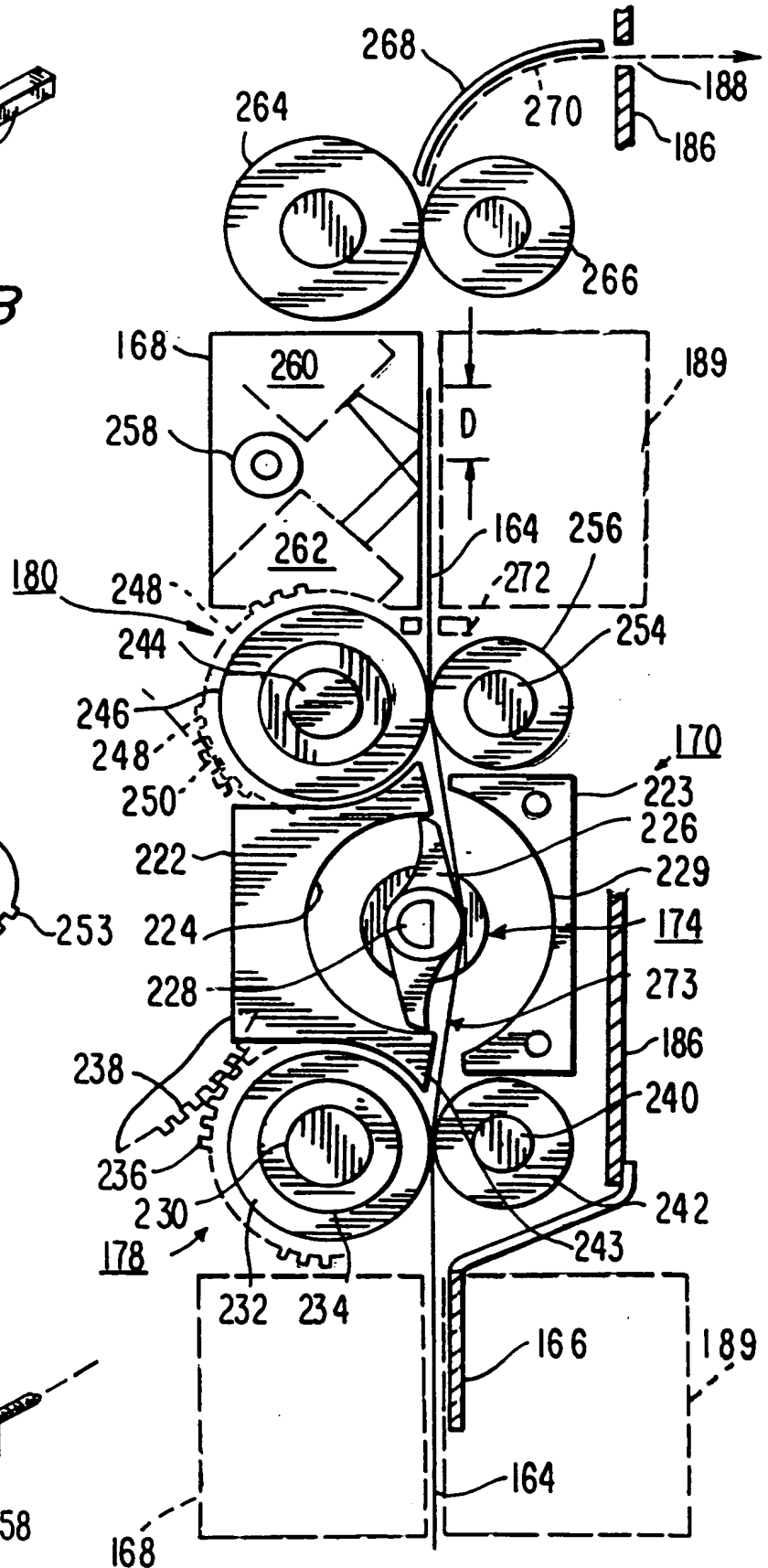


FIG. 14

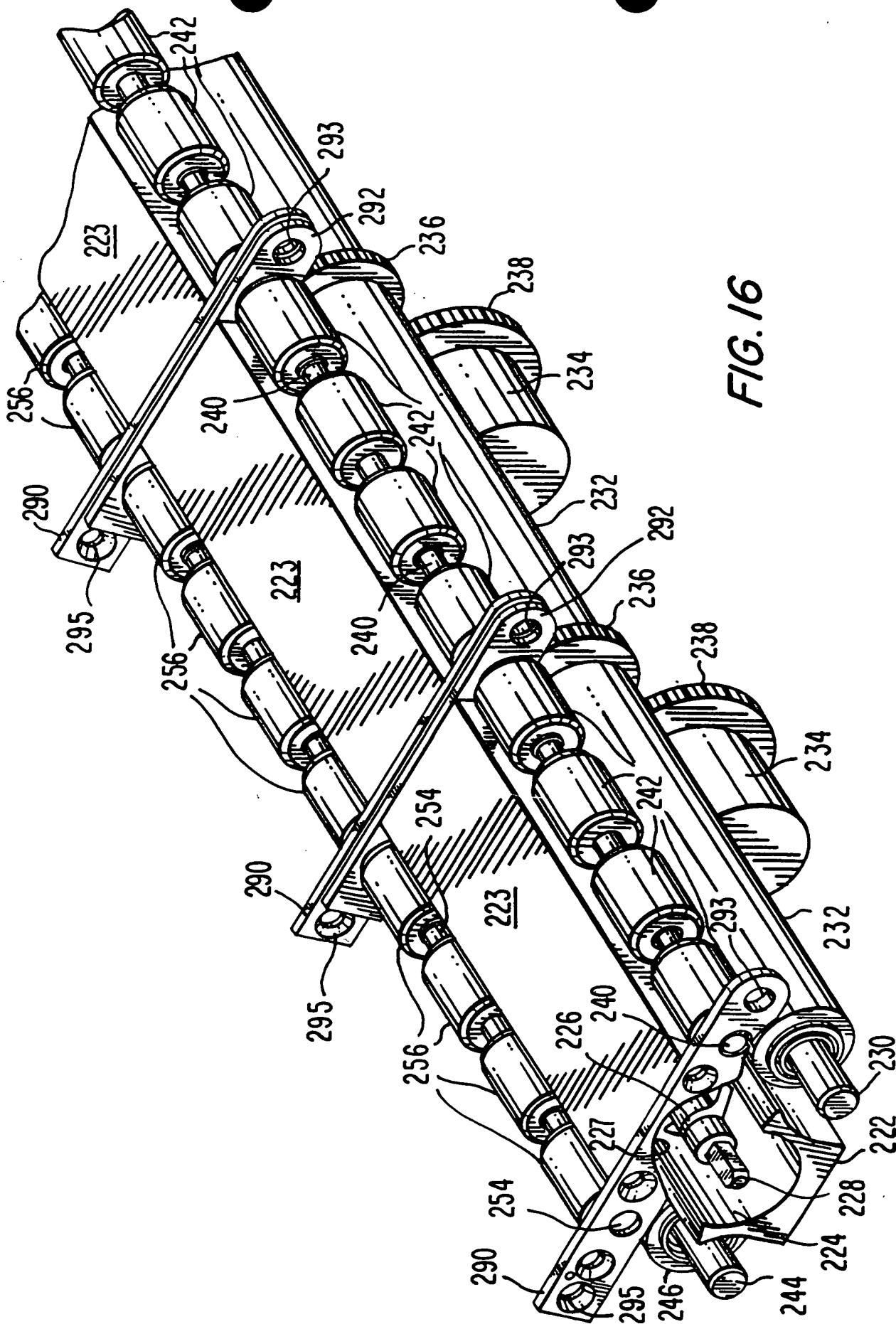
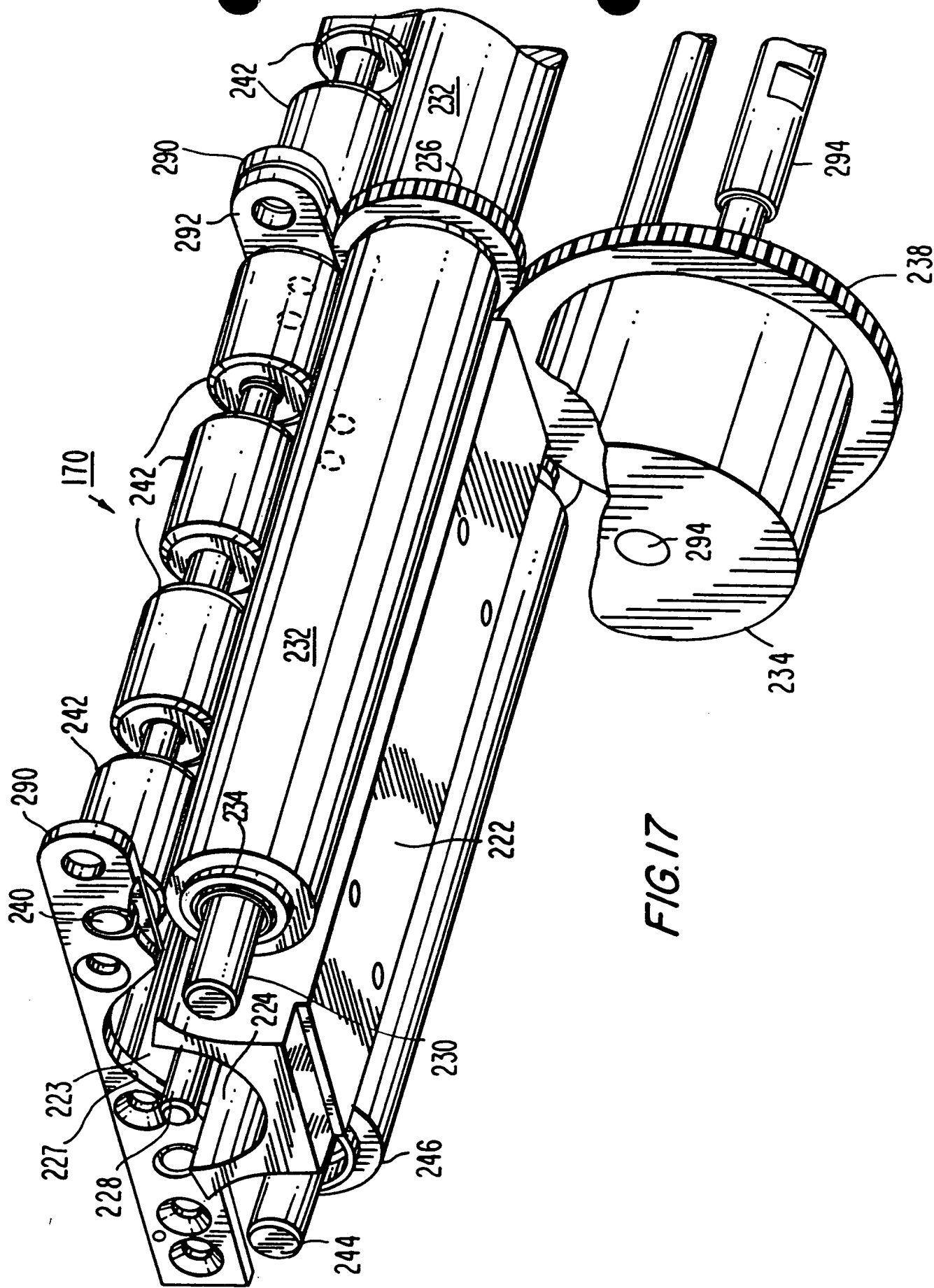


FIG. 16



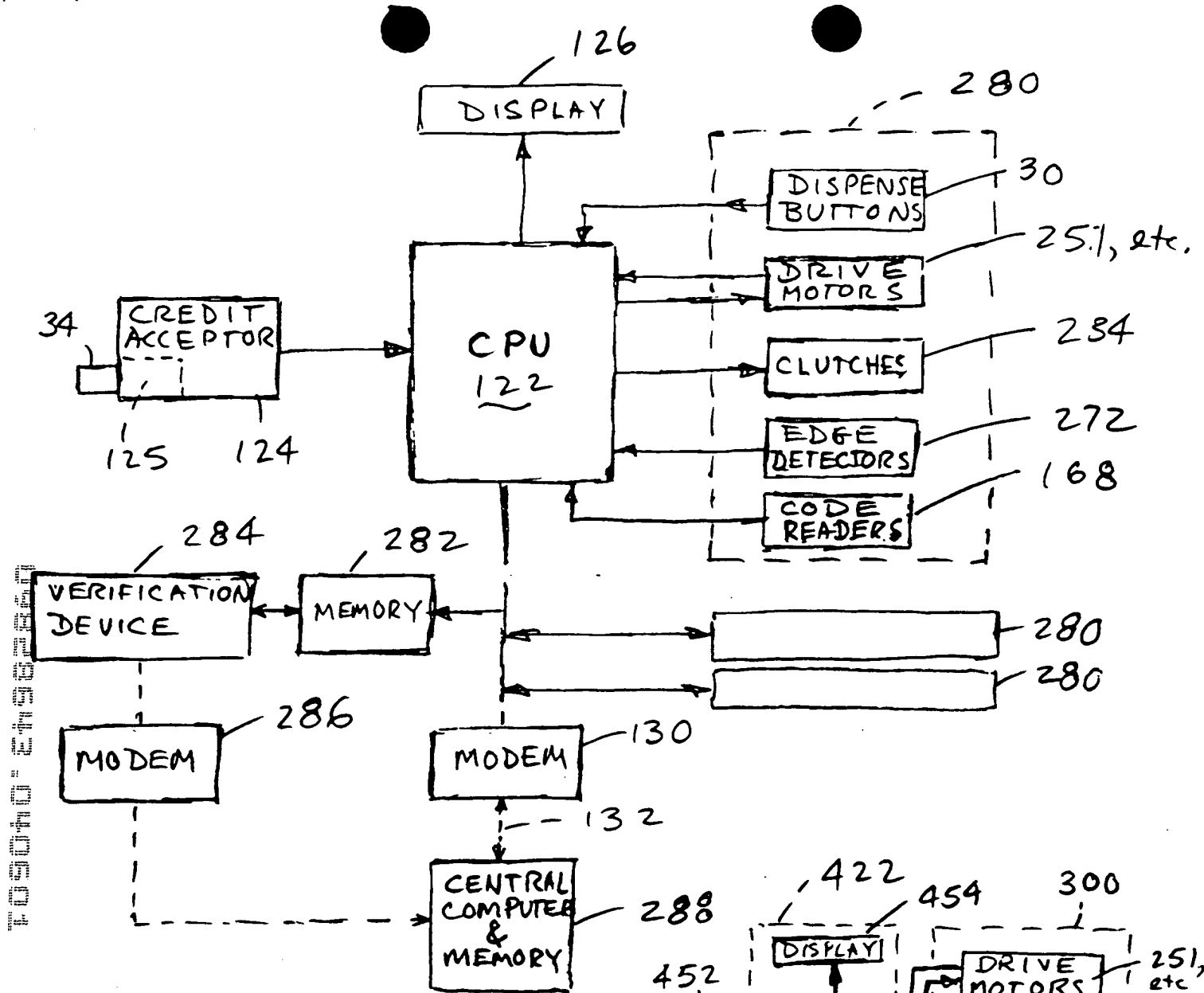


FIG. 18

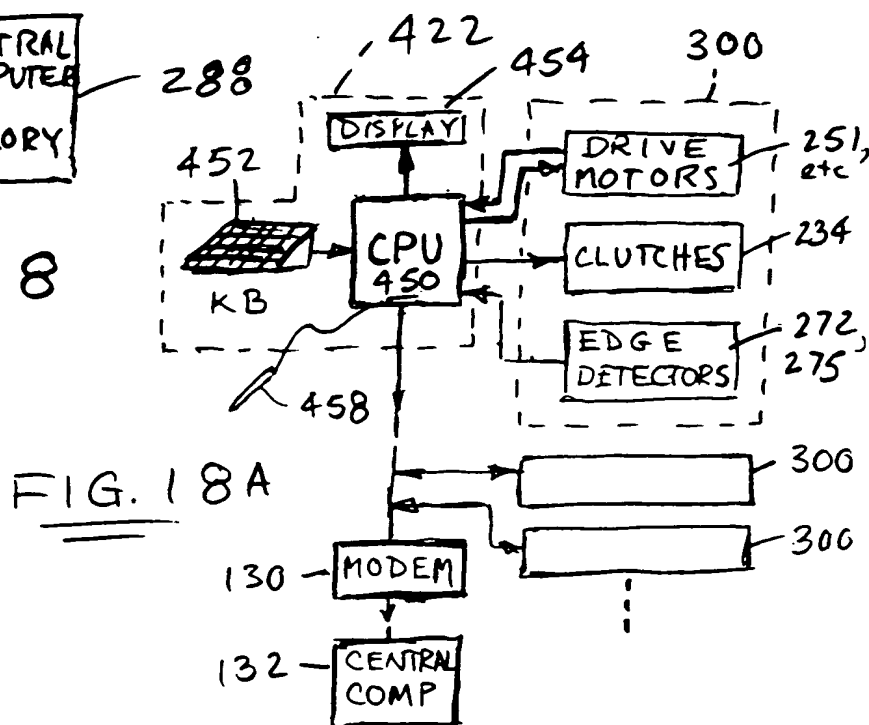


FIG. 18A

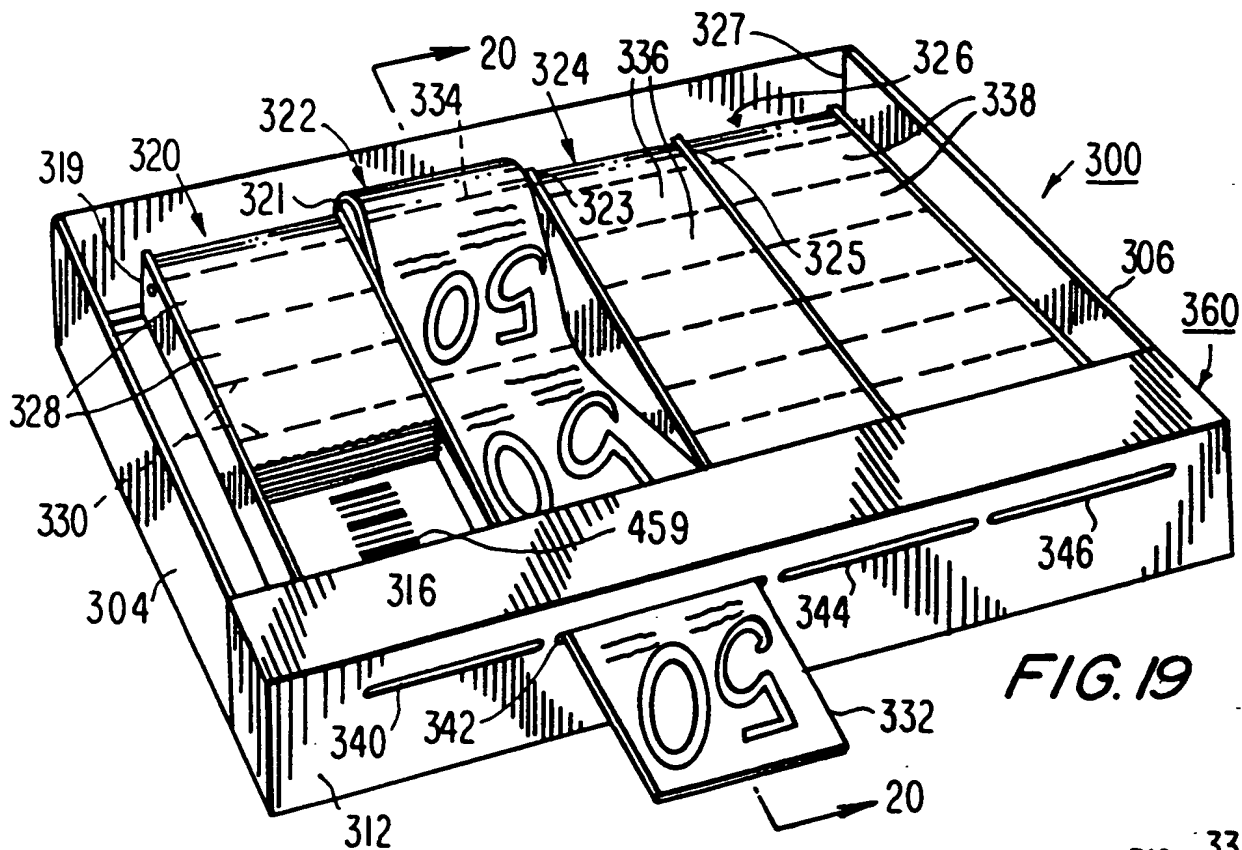


FIG. 19

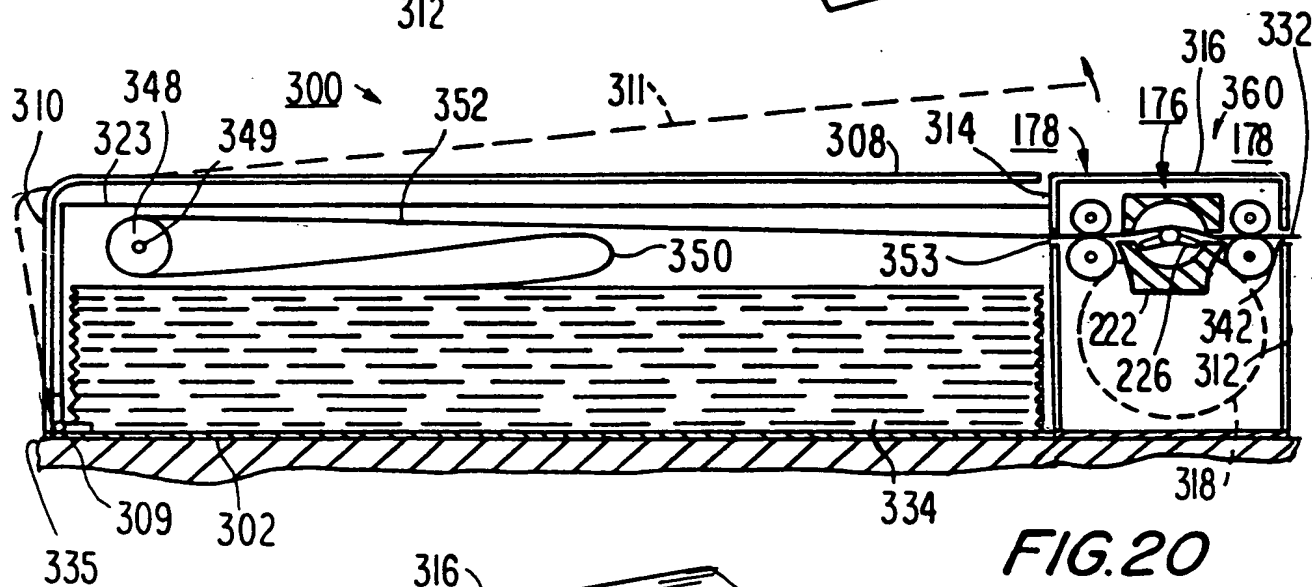


FIG. 20

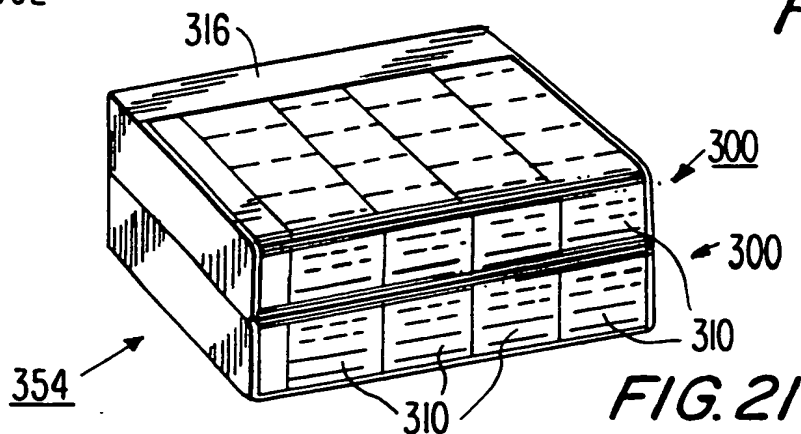


FIG. 21

FIG. 23

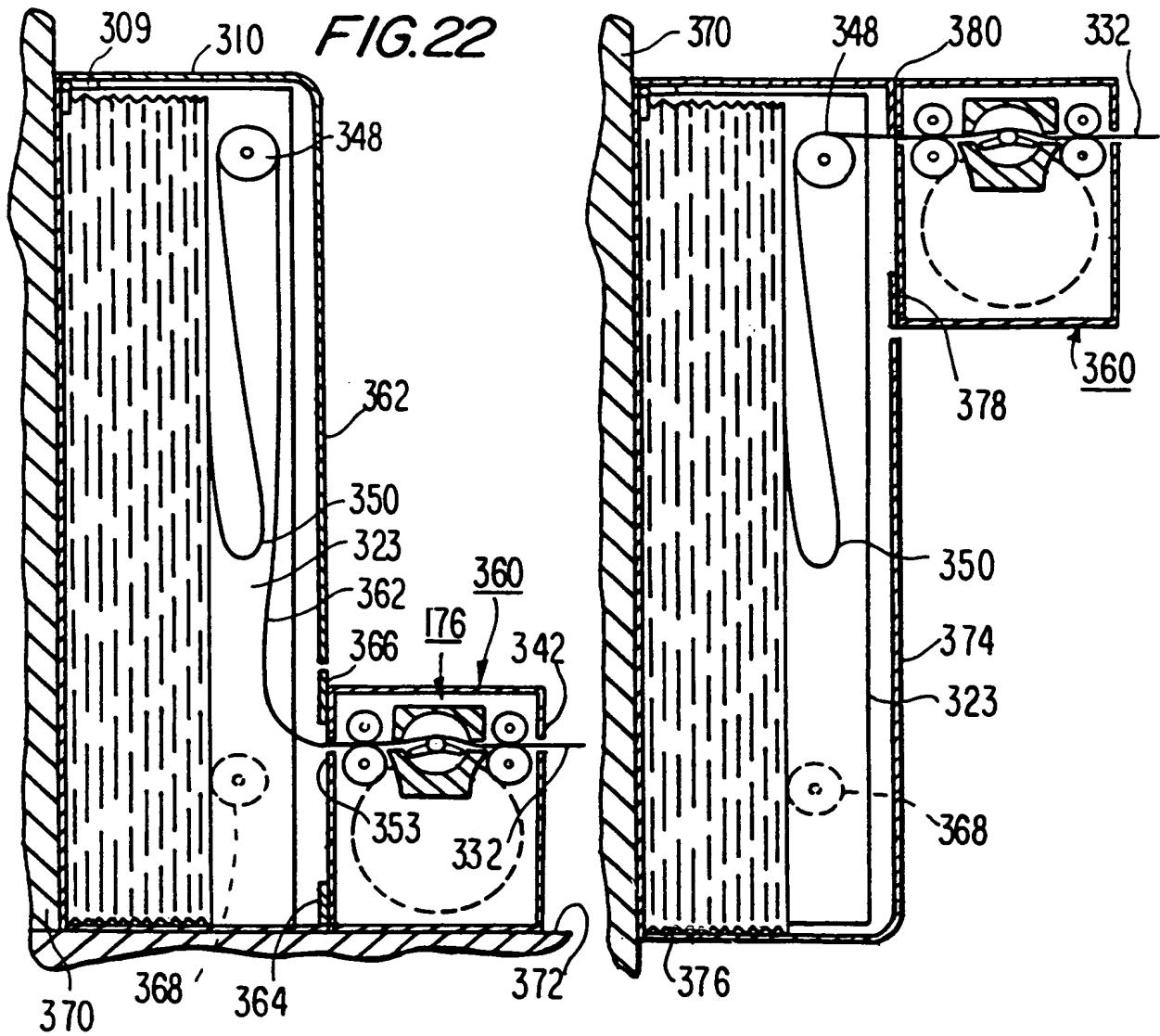
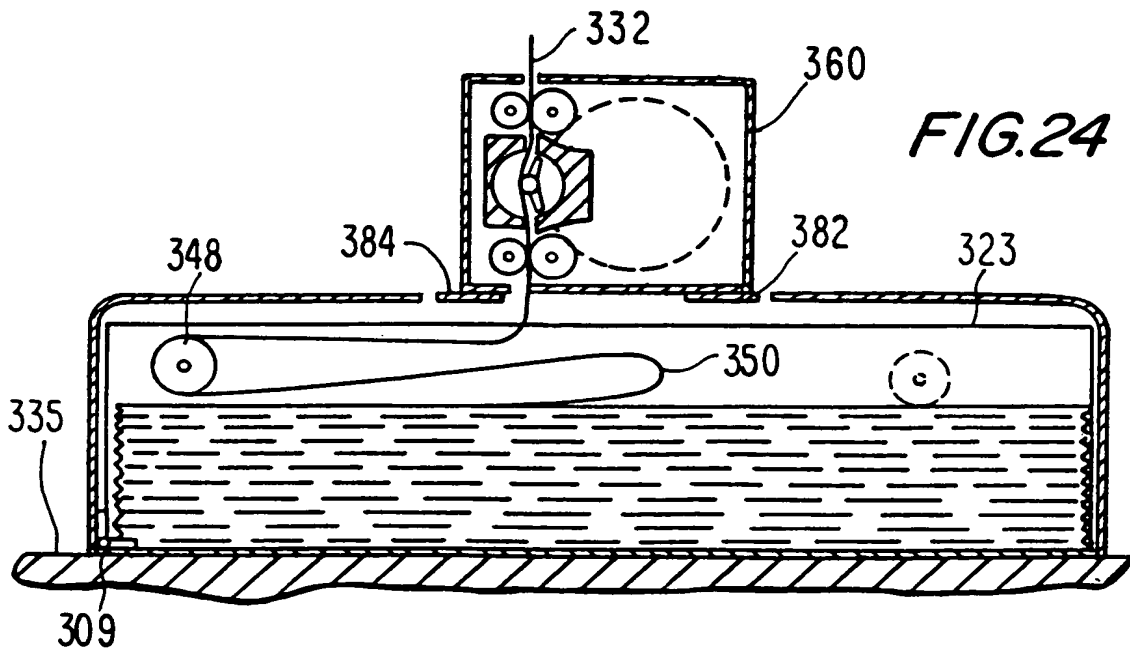


FIG. 24



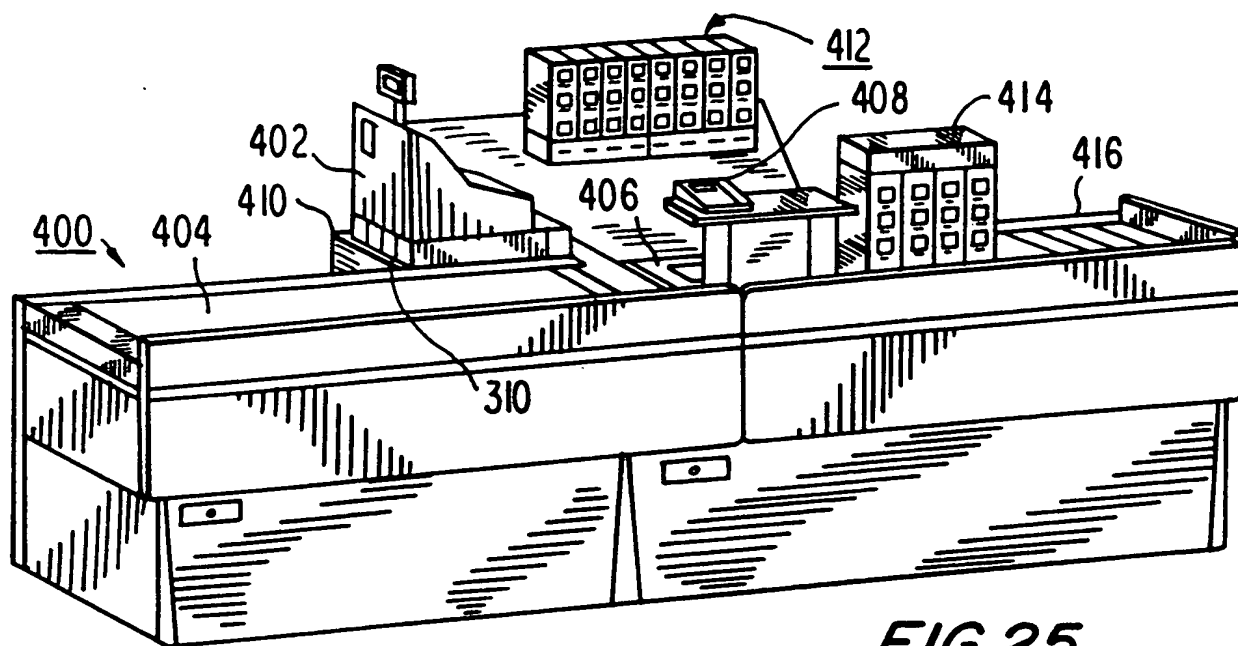


FIG. 25

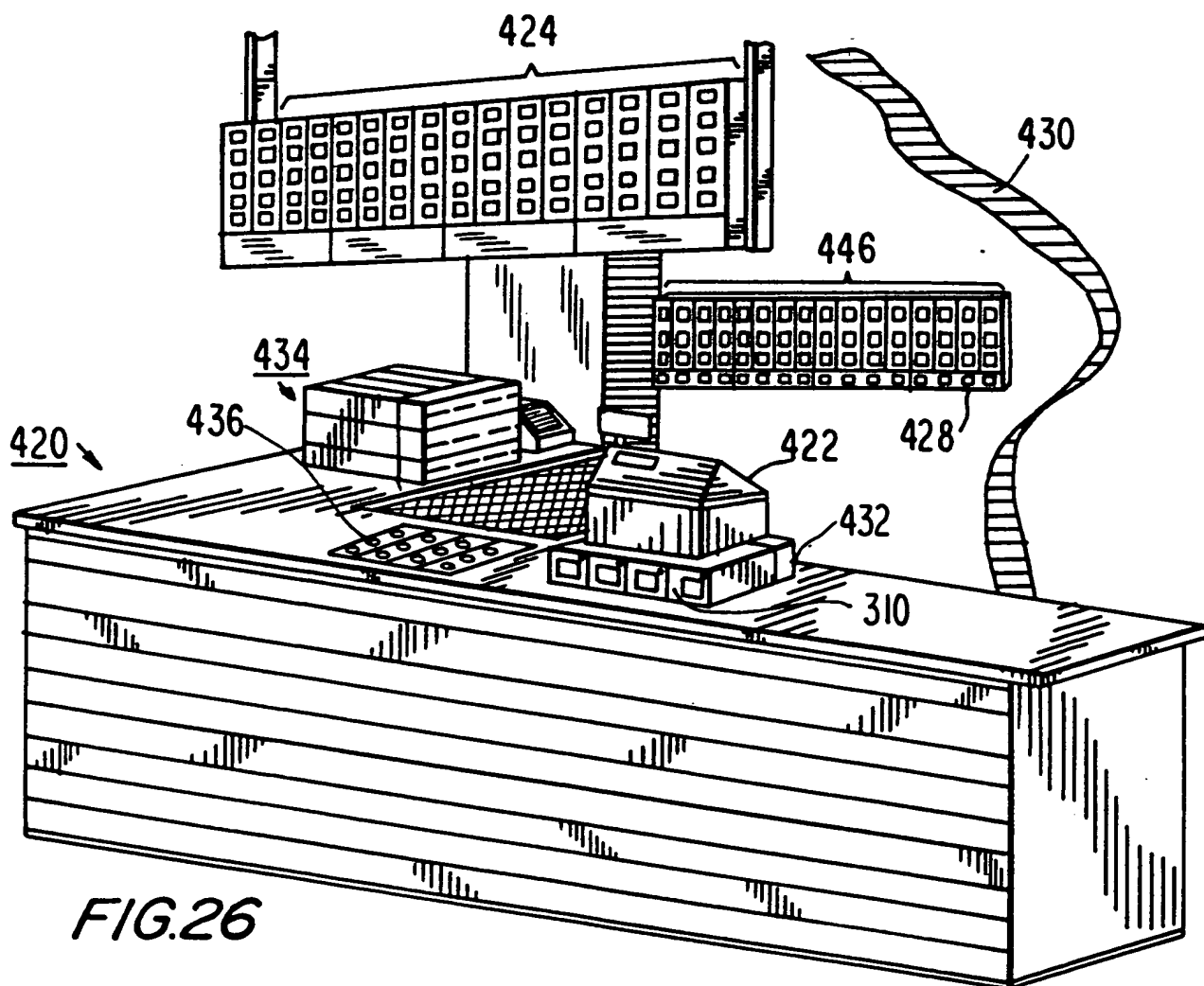
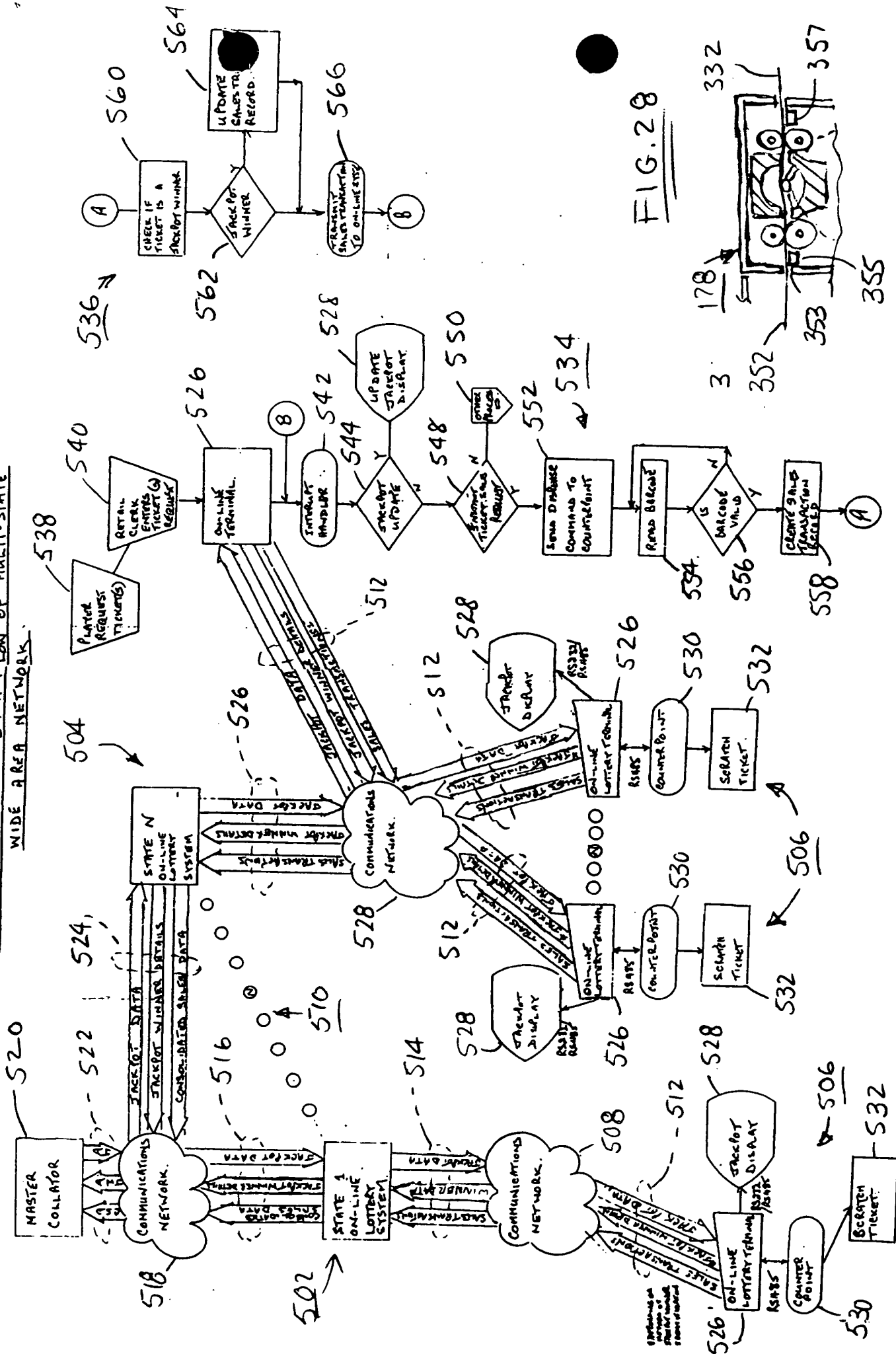


FIG. 26

PROGRESSIVE TALKON DATA FLOW OF MULTI-STATE WIDE AREA NETWORK.





532

FIG. 29



580

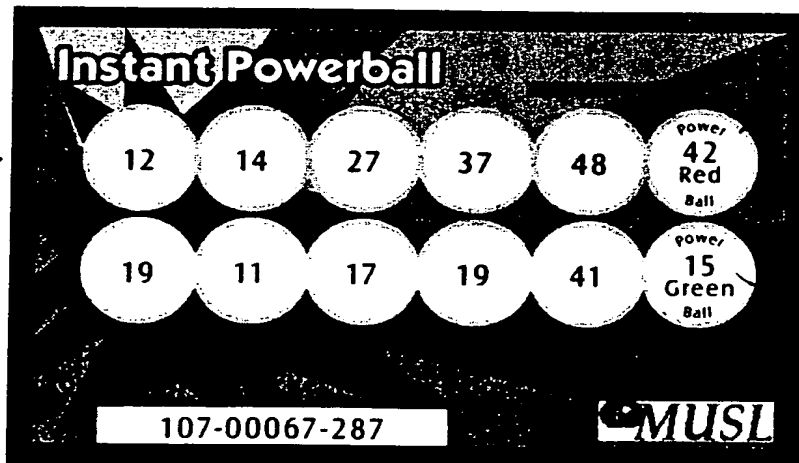
588

FIG. 30

590

592

594



532

596

FIG. 31

598